

## 論文

## 歩行時の人體帶電電位変化に関する等価回路的検討

萩本 安昭<sup>\*,1</sup>, 松井 満<sup>\*\*,2</sup>, 村崎 勝雄<sup>\*\*\*3</sup>

(2005年5月6日受付; 2005年8月30日受理)

## A Study on the Variance of Electrostatic Potential of a Walking Human Body with an Equivalent Circuit

Yasuaki HAGIMOTO<sup>\*,1</sup>, Mitsuru MATSUI<sup>\*\*,2</sup> and Norio MURASAKI<sup>\*\*\*3</sup>

(Received May 6, 2005; Accepted August 30, 2005)

A series of experiments using different types of footwear showed that an electrostatic potential of a human body sometimes changes polarity during walking and after stopping. Another measurement of the voltage decay of a stationary human body showed that the decay curve differs in accordance with the polarity of the initial voltage. An equivalent circuit was developed on the basis of these experimental results. Numerical calculations of the human body voltage were performed for various values of the resistors in the circuit. The calculation results showed good agreement with features observed in actual experimental results. These results are discussed with reference to each other.

## 1. はじめに

歩行時に生じる人體の静電気帶電は、火災爆発事故の原因となるだけでなく、電子デバイスのESD対策においても重大な問題である。人體の帶電は、履物、床などの様々な環境条件によって影響されるため<sup>1)</sup>、特異な現象がみられることがある。例えば、カーペット上の歩行中や歩行停止後に人體電位の符号が変わるという現象が知られている<sup>2-5)</sup>。ところが、人體の帶電における床や履物の影響について検討した研究報告は多いが<sup>6-9)</sup>、人體電位の符号が変わる現象についての等価回路的な検討は行われていない。

本研究では実験室の床を歩行する実験において、歩行中あるいは歩行停止後の電位の変化過程で電位の符号が変わる現象が認められた。そこで、履物の種類を変えた歩行実験を行い、人體電位の変化にどのような違いが生じるか調べ

るとともに、帶電電位の符号が変わる原因について検討した。さらに、この結果に基づいて歩行時の人体をモデル化した回路を作成し、計算によるシミュレーションを行った。その結果、計算上でも帶電電位の符号が変わることを示した。また回路定数を変えた場合について、帶電モデルによる計算結果と実験データとの比較を行った。

## 2. 歩行帶電の実験

## 2.1 実験方法

歩行中および歩行停止後の電位の測定は、ストロール法に準じて行った<sup>10)</sup>。測定器は、図1に示す円板電極に対向させた回転セクタ形電界計である。これと対向させた円板電極にリード線を接続し、被験者がその端を素手で握った。この測定系の静電容量は約30pFである。

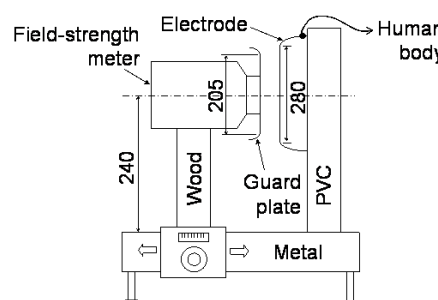


図1 測定装置

Fig. 1 Schematic of measurement apparatus.

キーワード：人體帶電、歩行帶電、等価回路

\* 科学警察研究所 (277-0882 千葉県柏市柏の葉 6-3-1)  
National Research Institute of Police Science, 6-3-1  
Kashiwanoha, Kashiwa 277-0882, Japan

\*\* Zao ES Lab. (989-0916 宮城県蔵王町遠刈田温泉上ノ原  
3-320)  
Zao Electrostatic System Laboratory, 3-320 Uenohara,  
Togattaonsen, Zaomachi, Miyagi 989-0916, Japan

\*\*\* 東京農工大学名誉教授 (187-0045 東京都小平市学園西町  
2-25-7)  
Emeritus Prof., Tokyo University of Agriculture and Technology,  
2-25-7 Gakuen-nishimachi, Kodaira Tokyo 187-0045, Japan

<sup>1</sup> hagimoto@nrips.go.jp

実験は室温約24°C、湿度35~40%の室内で行った。歩行した場所は、実験室の床（塩化ビニル系シート）である。歩行範囲は約1.5m×3m程度、歩行経路は8の字形である。歩行範囲に限界があるが、出来る限り新しい床面を歩行した。

実験に使用した履物は、表1に示す14種類であり、いずれも新品に近い状態である。実験時と同じ温湿度の室内に1週間以上放置してから実験に使用した。着衣は、綿または綿・ポリエステル混紡の衣類である。被験者は身長約170cm、体重約60kgの男性である。表1に示す静電容量には、測定系の静電容量が含まれている。床と履物は、1回の測定が終了するごとに棒状の電圧印加式除電器で除電し、さらにアルコールを染みませた綿布で表面を拭った。

表1 実験に使用した履物

Table 1 Footwear used for experiments.

| No. | 履物                    | 静電容量<br>[pF] |
|-----|-----------------------|--------------|
| 1   | 牛皮革製紳士靴（皮底）           | 200          |
| 2   | 合成皮革製紳士靴（硬質ゴム底）       | 200          |
| 3   | 牛皮革製紳士靴（軟質ゴム底）        | 160          |
| 4   | 運動靴（あめ色ゴム底）           | 180          |
| 5   | ゴム長靴                  | 200          |
| 6   | スリッパ（発泡EVA底）          | 170          |
| 7   | スリッパ（塩化ビニルレザーピアス底）    | 170          |
| 8   | サンダル（発泡塩化ビニル一体型）      | 180          |
| 9   | サンダル（発泡合成ゴム底）         | 130          |
| 10  | ビーチサンダル（発泡EVA一体型）     | 130          |
| 11  | 風呂場用ブーツ（本体はEVA、底は同発泡） | 150          |
| 12  | 風呂場用ブーツの上にさらにNo.6を履く  | 140          |
| 13  | 風呂場用ブーツの底材を取り除く       | 220          |
| 14  | 風呂場用ブーツの底にNo.6の底材を貼る  | 170          |

(注) EVA:エチレン 酢酸ビニル共重合樹脂

## 2.2 歩行時および歩行停止後の人體電位変化

歩行に伴う人體電位の測定結果を図2(a)~(n)に示す。図2中には、歩行停止後の緩和曲線から緩和時間の概略値を読み取り、これを表1の静電容量で割って求めた抵抗値Rを併記した。

図2の人體電位の変化は、大きく3つに分けられる。第1は、歩行中に人體電位が上昇し、停止後は減衰する通常の変化である。第2は、歩行停止後に人體電位の符号が変わった図2(d), (f)および(n)のような変化である。第3は、歩行中の人體電位が0V付近で推移し、歩行停止後に絶対値が大きくなる図2(i)および(k)のような変化である。

歩行停止後に人體電位の符号が変わった第2の場合は、図

3(b), (c)のようにAとBの2つ曲線で表わされる変化が重畠した結果が人體電位の曲線Cに相当しているのではないかと考えられた。歩行中の人體電位が増大しない第3の場合も、同様の考え方で説明することができる。

図2の履物No.11とNo.6を重ね合わせた履物No.12やNo.14、あるいは履物No.11の底材を取り除いた履物No.13の人體電位変化をみると、それぞれオリジナルの履物の特徴

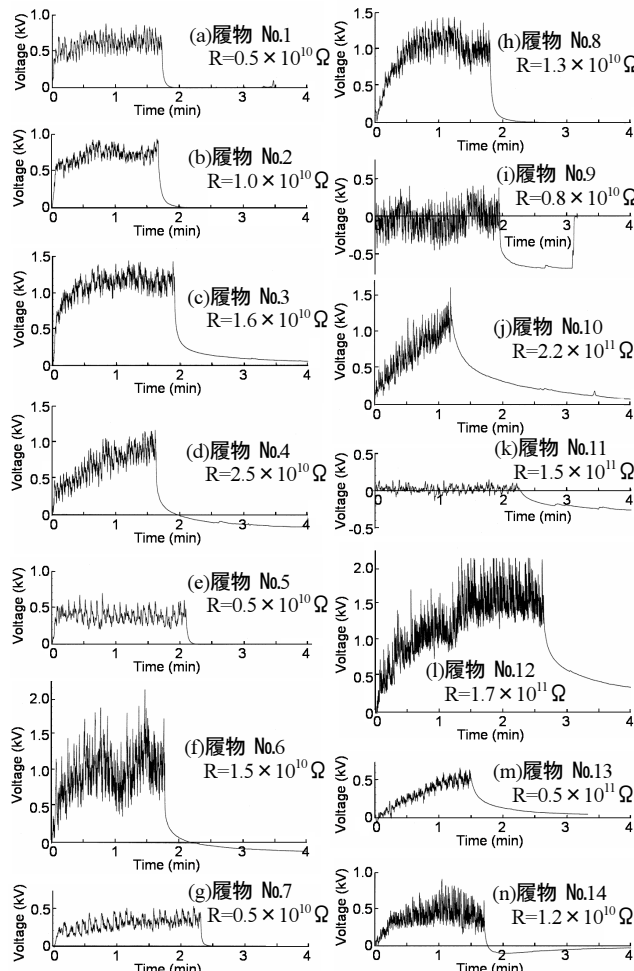


図2 歩行中および歩行停止後の人體電位変化

Fig. 2 Human body voltage curves during walking and after stopping.

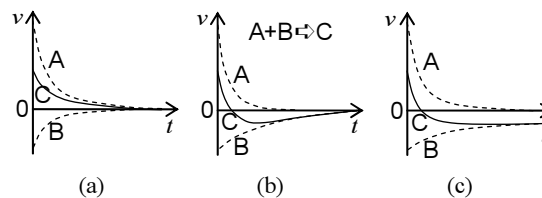


図3 電位減衰パターンの重畠

Fig. 3 Superposing of voltage decay curves.

が現われていることがわかる。このことからも、人体の帶電電位は複数の電位変化が重畳されたものであると推定される。

図4は、歩行と停止を繰り返したときの人体電位の測定例である。このときの履物はNo.6であり、実験室床の上に敷いた厚さ約1mmのポリプロピレンシート上を歩行した。図中の矢印Aで示すように、歩行停止後に人体電位が正から負に変化する様子がみられた。歩行と停止を繰り返すたびに、歩行停止後の人体電位が負方向へずれていくように見える。また、歩行中に人体を一瞬アースしたとき、人体電位が0Vにならないことがわかる。これらの変化を説明するためには、履物や床の影響を含めた等価回路的検討が必要であると考えられた。

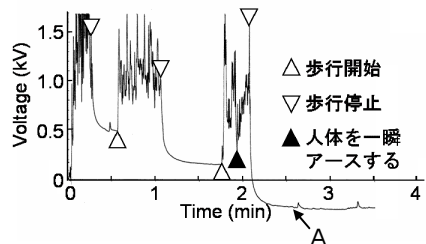


図4 歩行停止を繰り返したときの人体電位（履物 No.6）  
Fig. 4 Human body voltage during repeated walking and stopping with footwear No.6.

### 2.3 強制帶電させた静止中の人体電位変化

図5は、強制的に帶電させた人体電位の減衰特性である。履物No.9による歩行終了直後に、床の除電を行わないままの状態で直流電源に一瞬触れて人体を強制的に正または負に帶電させ、その後の静止状態における人体の電位変化を測定したものである。その結果、図5に示すように、正の場合と負の場合とで電位変化に違いがみられ、負の場合には絶対値が時間と共に増大した。

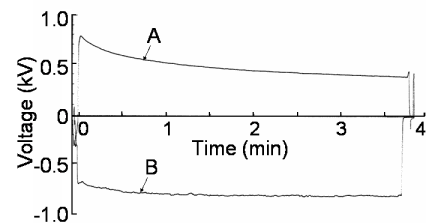


図5 直流電源で充電後、静止状態の人体電位  
A：正電圧で充電した場合 B：負電圧で充電した場合  
Fig. 5 Voltage decay curves of a human body initially charged with a DC voltage with footwear No.9.  
A: Charged with a positive voltage.  
B: Charged with a negative voltage.

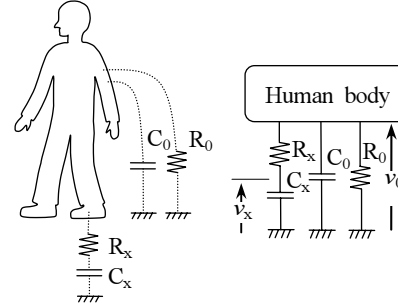


図6 図5の電圧変化から推定される人体の等価回路  
Fig. 6 Equivalent circuit of a charged human body

anticipated from the voltage decay curves in Fig. 5.

このような電位変化は、 $R_x$ と $C_x$ を加えた図6の回路モデルによって説明できる。すなわち、床または履物の残留電荷が人体電位に影響していると考えられる。そこで、このモデルに図5の測定結果を当てはめ、回路定数等を求めるところとなる。

図5の人体電位は概ね一定値の電圧に漸近しているので、人体からの電荷漏洩 $R_0$ が十分大きく無視できると仮定した。 $t=0$ のときの $v_0$ と $v_x$ の初期値をそれぞれ $V_0$ ,  $V_x$ とするとき、人体電位 $v_0$ は次式で表わされる。

$$v_0(t) = V_0 + \alpha(V_x - V_0)(1 - e^{-\frac{t}{\tau}}) \quad (1)$$

ここで、

$$\alpha = \frac{C_x}{C_x + C_0} \quad (2)$$

$$\tau = \alpha C_0 R_x \quad (3)$$

ここで、 $t \rightarrow \infty$ としたときの $v_0$ の収束値を $V_\infty$ とし、人体電位が正の場合と負の場合をそれぞれ添字pとmで表わした式(1)の連立方程式を $V_x$ と $\alpha$ について解くと、

$$V_x = \frac{V_{0p}V_{\infty m} - V_{0m}V_{\infty p}}{V_{0p} - V_{\infty p} - V_{0m} + V_{\infty m}} \quad (4)$$

$$\alpha = 1 - \frac{V_{\infty p} - V_{\infty m}}{V_{0p} - V_{0m}} \quad (5)$$

となる。上式に図5から読み取った値を代入すれば、 $V_x$ と $\alpha$ が求まる。その結果を表2に示す。

ここで、さらに $C_0$ が与えられれば $C_x$ と $R_x$ を求めることが可能である。斎藤は、足と床の間に挟んだ絶縁物の厚みを変えて

表2 図5に式(4), (5)を当てはめて得られた値

Table 2 Variables in Equations (4) and (5) derived from Fig. 5.

| $V_{0p}$ (V) | $V_{\infty p}$ (V) | $\tau_p$ (s) | $V_{0m}$ (V) | $V_{\infty m}$ (V) | $\tau_m$ (s) | $V_x$ (V) | $\alpha$ |
|--------------|--------------------|--------------|--------------|--------------------|--------------|-----------|----------|
| 780          | 370                | 18           | -675         | -820               | 7.0          | -1500     | 0.82     |

静電容量を測定し、履物と床の影響を除いた人体の静電容量が約62pFであるとしている<sup>3)</sup>。小野らも足裏、胴体、腕の静電容量を分割して測定し、これに近い結果を得ている<sup>11)</sup>。そこで、斎藤の値に測定系の静電容量約30pFを加えた92pFをC<sub>x</sub>とするとC<sub>x</sub>は420pFとなり、τ<sub>p</sub>とτ<sub>m</sub>に対するR<sub>x</sub>はそれぞれ、2.4×10<sup>11</sup>Ωおよび9.3×10<sup>10</sup>Ωとして求められる。

図4の歩行停止を繰り返したときにみられた負方向へのずれも、図6の等価回路によって説明できる。すなわち、歩行中にC<sub>x</sub>が負に充電され、歩行停止を繰り返すごとにv<sub>x</sub>の負電圧が大きくなり、最終的に図中の矢印Aに示すように人体電位が負になったと考えられる。また、図4の▲印で示した時点で人体をアースしたときに人体電位が0Vにならなかつたことも、C<sub>x</sub>の電荷がすべて放電しなかつたと考えれば説明できる。

以下、これらの結果を参考にして、歩行時の人体帶電の等価回路を検討した。

### 3. 人体の歩行帶電における回路モデルの検討

#### 3.1 歩行時の帶電電位を模擬するための等価回路

図6の等価回路は静止中の人体について求めたものであった。そこで、歩行動作に伴う電荷の発生を表わすため、図6の回路に履物と床の間に静電容量C<sub>2R</sub>またはC<sub>2L</sub>を追加した。これを図7に示す。この図は、右足を上げたときの状態を表わしている。左足を上げたときにはC<sub>2R</sub>の代わりにC<sub>IL</sub>と直列にC<sub>2L</sub>があり、歩行中は両足が同時に着地することなくこの状態が交互に繰り返され、歩行停止後はC<sub>2L</sub>とC<sub>2R</sub>がなくなると仮定する。

図7の回路により、歩行中および歩行停止後の人体電位変化について、概ね以下のように説明できる。C<sub>0</sub>、C<sub>IL</sub>、C<sub>2L</sub>、C<sub>IR</sub>、C<sub>2R</sub>の電圧をそれぞれv<sub>0</sub>、v<sub>IL</sub>、v<sub>2L</sub>、v<sub>IR</sub>、v<sub>2R</sub>とし、電圧の向きは人体側が正、大地側が負であるとする。また、仮に、床と履物の間に発生する電圧v<sub>2L</sub>とv<sub>2R</sub>は十分大きい正の電圧であり、人体電位v<sub>0</sub>の初期値は0Vであるとする。

たとえば、図7の右足を上げた状態では、v<sub>0</sub>=v<sub>IR</sub>+v<sub>2R</sub>である。v<sub>2R</sub>が十分大きい正の電圧であるから、図8(a)に示すように、C<sub>0</sub>の電圧v<sub>0</sub>が正、C<sub>IR</sub>の電圧v<sub>IR</sub>が負になる。この後、回路各部の電圧は過渡的に減衰するが、次の1歩で回路の左右が交替し、以下同様のことが繰り返される。

このようにv<sub>IR</sub>またはv<sub>IL</sub>が負になる結果、C<sub>0</sub>やC<sub>IR</sub>、C<sub>IL</sub>の充放電速度の相互関係によっては、v<sub>0</sub>が負になる可能性がある。これは、歩行中も歩行停止後もいずれの場合も考えられることである。たとえば、図9(b)のように歩行停止直前のv<sub>IR</sub>とv<sub>IL</sub>がv<sub>0</sub>よりも十分大きいと、図9(c)のように歩行停止

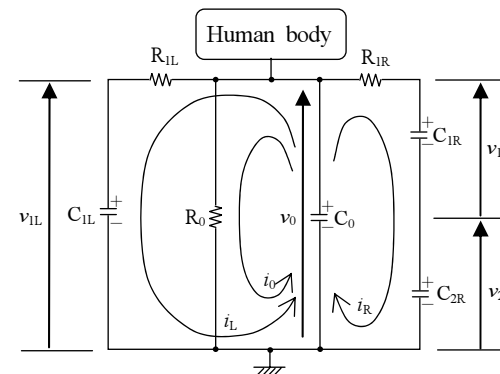


図7 歩行時の人体帶電電圧の計算に用いた等価回路

Fig.7 Equivalent circuit used for simulation of electrostatic charging of a walking human body.

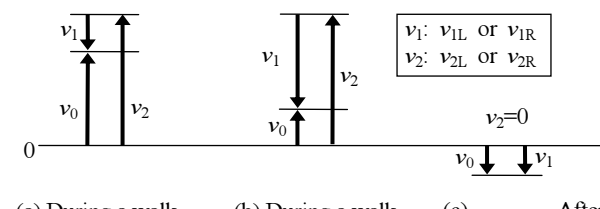


図8 歩行停止後に負電圧が現われる機構の説明図

Fig. 8 Conceptual diagram representing the appearance of negative voltage after stopping.

後の人体電位v<sub>0</sub>が減衰する過程で負に変化する可能性がある。これが、図2や図4で見られた人体電位の符号が変化する機構である。

#### 3.2 等価回路の定数

計算結果を比較しやすくするため、R<sub>0</sub>とR<sub>1</sub>のいずれか一方を一定値に定め、他方をパラメータとして変化させた。図2では、人体がCR並列回路であると仮定して歩行停止後の緩和時間から概算で求めた抵抗値Rは10<sup>10</sup>~10<sup>11</sup>Ωであった。そこで、R<sub>0</sub>とR<sub>1</sub>の値は10<sup>10</sup>Ω以上の範囲で変化させた。

R<sub>1</sub>の～定値は、図6の等価回路で求めたR<sub>x</sub>を参考にして10<sup>11</sup>Ωに設定した。R<sub>0</sub>の～定値は、R<sub>x</sub>を求めたときと同様、R<sub>1</sub>より十分大きいとみなせる値として10<sup>12</sup>Ωに設定した。

C<sub>0</sub>の値は、式(2)の計算では92pFとしたが、ここでは概数で十分であるため100pFに設定した。

C<sub>1</sub>の値は、図6の等価回路で求めたC<sub>x</sub>を参考にした。C<sub>x</sub>の値400pFは両足が床に着地した状態で求めたものであるから、C<sub>1</sub>は片足分として200pFに設定した。

C<sub>3</sub>の値は、Piriciらの人体帶電モデルの構築を参考にして次式で計算した<sup>11)</sup>。

## 歩行時の人体帶電電位変化に関する等価回路的検討（萩本安昭ら）

$$C = \epsilon_0 \epsilon_r \frac{S}{d} \quad (6)$$

ここで  $\epsilon_0$  は真空の誘電率、  $\epsilon_r$  は物質によって異なる比誘電率である。この場合、空気中であるから  $\epsilon_r$  は 1 である。底面積  $S$  を  $0.025\text{m}^2$ 、床からの距離  $d$  を  $0.05\text{m}$  として式(6)で計算した結果から、  $C_2$  は  $5\text{pF}$  に設定した。

このモデルでは、履物が床から離れたとき  $C_3$  に発生する電荷量を仮定する必要がある。Pirici らは、降車時の人体・座席間（接触面積  $0.09\text{m}^2$ ）で発生する電荷量を  $2.5\mu\text{C}$  としている<sup>12)</sup>。この値を単純に面積比で換算すると、履物に発生する電荷量は約  $0.7\mu\text{C}$  となる。しかし、この値を用いて計算することは実際的ではない。なぜなら、 $C_2$  の電圧が  $140\text{kV}$  と計算されるからである。もし、実際にそのような電荷が発生したとしても、履物が床から離れる過程で電荷の逆流<sup>12)</sup> が起こり、間隙の絶縁耐力を超える電圧まで達することはないであろう。そこで、 $C_2$  の電圧の妥当な値として 1 枝小さい  $10\text{kV}$  を想定し、発生の電荷量を  $0.05\mu\text{C}$  に設定した。

## 3.3 等価回路による計算方法

図 7 に示すように各部の電圧と電流を定めると、オームの法則とキルヒホッフの法則から、次式(7)の関係が成り立つ。ここで、 $v_0$  は  $dv_0/dt$  を表すものとする。また、右足側と左足側の回路定数は等しいと考え、 $C_{1R}=C_{1L}=C_1$ 、 $C_{2R}=C_{2L}=C_2$ 、 $R_{1R}=R_{1L}=R_1$ 、 $R_{2R}=R_{2L}=R_2$  であるとする。

$$\left. \begin{aligned} C_0 v_0 &= -i_0 - i_L - i_R \\ C_1 v_{1L} &= i_L \\ C_1 v_{1R} &= C_2 v_{2R} = i_R \\ v_0 &= i_0 R_0 = v_{1L} + i_L R_1 = -v_{1R} + v_{2R} + i_R R_1 \end{aligned} \right\} \quad (7)$$

式(7)から電流の変数を消去すると次式が得られる。

$$\left. \begin{aligned} v_0 &= -C_0^{-1} \left( R_0^{-1} + 2R_1^{-1} \right) v_0 \\ &\quad + (C_0 R_1)^{-1} (v_{1L} + v_{1R} + v_{2R}) \\ v_{1L} &= (C_1 R_1)^{-1} (v_0 - v_{1L}) \\ v_{1R} &= (C_1 R_1)^{-1} (v_0 - v_{1R} - v_{2R}) \\ v_{2R} &= (C_2 R_1)^{-1} v_0 + (C_2 R_1)^{-1} (v_{1R} - v_{2R}) \end{aligned} \right\} \quad (8)$$

この連立微分方程式の数値解をルンゲ・クッタ法を用いて計算し、歩行に伴う人体電位  $v_0$  の時間変化を求めた。計算の刻み時間は  $0.1\text{s}$ 、歩行速度は毎秒 2 歩とした。また、歩行開始前の条件として、電圧  $v_0$ 、 $v_{1L}$  および  $v_{1R}$  の初期値は  $0\text{V}$  とした。

左右の足を交互に 1 歩ずつ進めるたびに、図 7 の回路の左右を入れ替える必要がある。実際の計算上では、プログラムの中で電圧  $v_{1L}$  と  $v_{1R}$  の値を入れ替えることによって左右の入

れ替えを行った。一步ごとの計算区間の初期値として、履物と床間の静電容量  $C_3$  に  $0.05\mu\text{C}$  の電荷を与えた。歩行時間は  $60\text{s}$  間とし、その後は歩行停止するとした。

## 3.4 等価回路による計算結果

式(7)、(8)による計算結果の一例を図 9(a)～(c)に示す。図 2 でみられたような歩行中あるいは歩行停止後に人体電位の符号が変わるという特徴が現われた。以下、計算結果にみられる特徴を挙げて考察する。

3.4.1  $R_0$  を変化させた場合

図 9(a)は  $R_1$  を  $10^{11}\Omega$  で定して  $R_0$  を変化させた場合の計算結果である。 $R_0$  が小さくなると、歩行中の人体電位が低くなった。 $R_0$  が  $10^{12}\Omega$  以下では、歩行停止後の人体電位が減衰過程で正から負に変化する状況が現われ、 $R_0$  が  $10^{11}\Omega$  のときに負電圧の絶対値が最も大きくなつた。

図 2 の実測例において実験ごとに変化させた条件は履物の種類だけである。この実験条件の違いによって、図 7 の等価回路でいうと  $R_1$  が変化したはずである。もし、 $R_1$  だけが変化したのであれば、実測例には  $R_0$  の影響が現われないとになる。しかし、履物や床を通しての静電気の漏洩は実際に経験するところであり、これは  $R_0$  の成分として考えるべきものである。すなわち、履物の種類を変えたことによって実測例の電位変化には  $R_0$  と  $R_1$  の両方の影響が混在していると考えられるため、計算結果と単純に比較することができない。実測例における  $R_0$  と  $R_1$  を分離することが今後の検討における課題である。

3.4.2  $R_1$  を変化させた場合

図 9(b)は、 $R_0$  を  $10^{11}\Omega$  で定して  $R_1$  を変化させた場合の計算結果である。 $R_1$  が大きくなるにつれて人体電位の上昇が緩慢になった。その結果、 $R_1$  の値が  $10^{12}\Omega$  以上では、一定の歩行時間内に到達し得る人体電位の最大値が低くなつた。

図 9(b)に示した C の緩慢な人体電位変化のパターンは、図 2 の中では、(j)の履物 No.10 の実測例が最も類似している。この履物 No.10 の緩和時間から求めた R の値は実測例の中で最も大きく、 $R_1$  に相当する抵抗が大きかつたことを示唆している。

一方で、図 2 の実測例の中で R が最も小さい(a), (e), (g)の変化パターンは、いずれも  $500\text{V}$  前後の低い値で推移しており、図 9(b)の D のパターンと類似している。

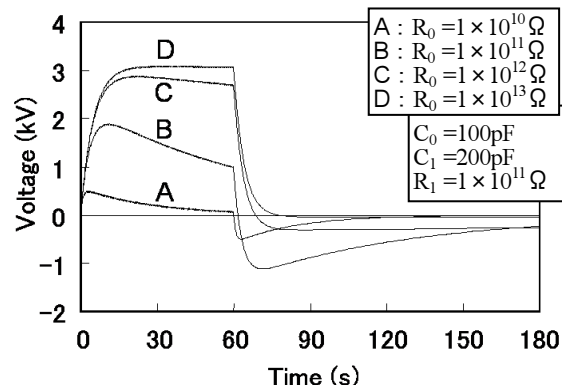
これらのことから、前項で述べた  $R_0$  の混在が無視できないものの、図 2 の実測例には  $R_1$  の影響が強く現われていると考えられる。これは、実測例で履物の種類を変えたということからも予想できる結果である。

図 9 に示すように、 $R_1$  の値が  $10^{12}\Omega$  以上のとき、歩行停止後の人体電位の計算値が負に変化した。 $R_1$  は履物の抵抗を想

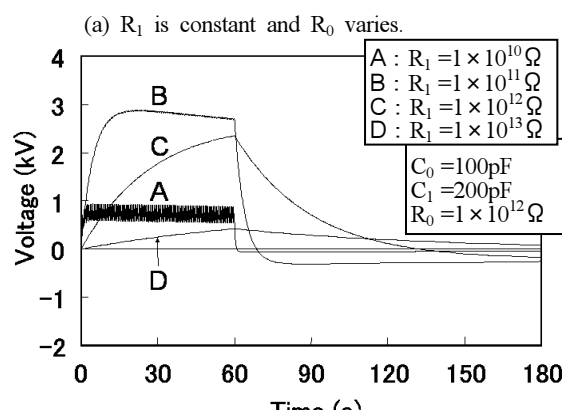
定したものであるから、浅野の解説<sup>13)</sup>を引用すると、このことは次のようにも説明できる。すなわち、履物の抵抗が比較的低い場合 ( $10^{12}\Omega$ 以下) は、発生電荷が人体全体に広がって人体の電位を上げるが、高い場合には、履物と足の裏が電気二重層となり、人体電位は履物の電位より低くなったと考えられる。

### 3.4.3 $R_0$ $R_1$ を同時に変化させた場合

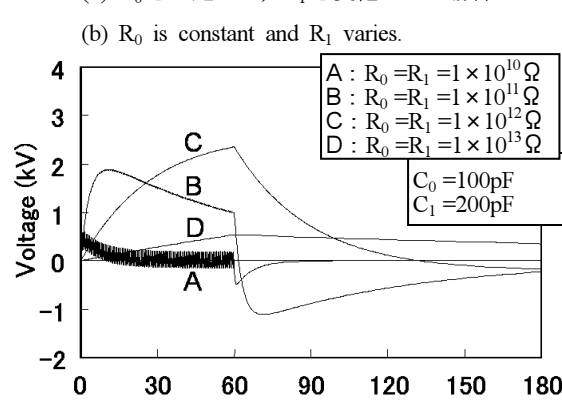
図9(c)は、 $R_0$ と $R_1$ の両方を同時に変化した場合の計算結果



(a)  $R_1$ を～定して、 $R_0$ を変化させた場合



(b)  $R_0$ を～定して、 $R_1$ を変化させた場合



(c)  $R_0$ と $R_1$ を同時に変化させた場合

(c)  $R_0$  and  $R_1$  vary similarly.

図9 計算結果の例

Fig. 9 Typical computations results.

である。図9(b)の場合と同様、 $R_0$ と $R_1$ の値が大きくなると人体電位の上昇が緩慢になり、一定の歩行時間内で比較した場合の到達し得る人体電位の最大値が低くなつた。

$R_0$ と $R_1$ が $10^{10}\Omega$ のときのAのパターンでは、歩行中は人体電位がほとんど0Vであるが、歩行停止後に負の方向に大きくなるという図2(i), (k)の実測例に類似した特徴がみられた。ただし、図2の緩和時間から求めたこれらの履物のRの値は各々 $0.8 \times 10^{10}\Omega$ と $1.5 \times 10^{11}\Omega$ であり、後者の図2(k)の場合には必ずしも $R_0$ と $R_1$ の両方の値が小さいとは言えない。この回路モデルでは表わせていない別の要素を考慮する必要があると思われる。

### 4. まとめ

履物の種類を変えて歩行中の人体帶電電位を測定し、歩行停止後の減衰過程で人体電位が正から負に変化するという実測例を示した。そして、この帶電電位の符号の変化は、履物や床の影響を加味した等価回路によって説明できることを示した。さらに、実験結果に基づいて回路定数を決定し、計算によるシミュレーションを行ったところ、実測例にみられた負に変化する特徴などが再現された。

この研究では、履物や床の影響を加味した簡単な等価回路を用いて、歩行時にみられる人体電位の符号の変化の説明を試みたものである。実際の歩行帶電は人体を取り巻く周囲の物体も含めた多体間の分布定数の取り扱いを必要とする複雑な現象である。単なる等価回路の複雑化ではなく、実測値との対応に基づいた定量的な予測にも使える計算モデルに発展させることが今後の課題である。

### 参考文献

- 1) 小林勇人、村崎憲雄、藤林宏一、松井満: 静電気学会講演論文集'82, p.247, 静電気学会 (1982)
- 2) 静電気学会: 新版静電気ハンドブック, p.204-283, オーム社 (1998)
- 3) 斎藤洋: 応用物理, 32 (1963) 301
- 4) 田畠泰幸、児玉勉、蒲池正之介、三神幸男: 静電気学会講演論文集'86, p.367, 静電気学会 (1986)
- 5) 萩本安昭、渡邊憲道、木下勝博: 静電気学会講演論文集'93, p.407, 静電気学会 (1993)
- 6) 松尾義輝、田畠泰幸: 静電気学会講演論文集'87, p.239, 静電気学会 (1987)
- 7) 篠崎薰、森敏則: 電子情報通信学会春季全国大会講演論文集, p.1-280, 電子情報通信学会 (1988)
- 8) 五味弘、稻葉仁、吉田隆紀、岡田孝夫: 第7回コンタミネーションコントロール研究大会予稿集, p.215, 日本空気清浄協会 (1988)
- 9) 小野雅司: 静電気学会誌, 15 (1991) 19
- 10) JIS L 1021 敷物試験方法 (1979)
- 11) D. Pirici, J. Rivenc, T. Lebey, D. Malec, A. Agneray, M. Cheaib: *Journal of Electrostatics*, 62 (2004) 167
- 12) 村崎憲雄: 静電気障害対策ハンドブック(上), p.11, マグロウヒル好学社 (1977)
- 13) 浅野和俊: 静電気学会誌, 5 (1981) 428